



**FAKULTA  
ELEKTROTECHNICKÁ  
ZÁPADOČESKÉ  
UNIVERZITY  
V PLZNI**

2013

**Pracoviště:** Regionální inovační centrum elektrotechniky

**Výzkumná zpráva č.:** 22190 - 016 - 2013

# Experimentální studie přednabíjení plovoucích kondenzátorů FLC měniče

**Druh úkolu:** Vědecko-výzkumný  
**Řešitelé:** Ing. Dušan Janík, Ing. Tomáš Košan  
**Vedoucí úkolu:** Prof. Ing. Zdeněk Peroutka, Ph.D.  
**Počet stran:** 14  
**Datum vydání:** květen 2013  
**Revize:** 1

Práce vznikla s podporou projektu CZ.1.05/2.1.00/03.0094 a s podporou TAČR v rámci projektu TA01010863.

## Anotace

Tato výzkumná zpráva se zabývá výstupy z reálného testu funkčnosti vybrané metody pro přednabíjení plovoucích kondenzátorů čtyř-hladinového měniče 4L-FLC. Měření bylo provedeno v rámci navržené startovací rutiny pro prototyp čtyř-hladinového měniče 4L-FLC.

## Seznam symbolů a zkratk

4L-FLC

Four Level Flying Capacitor

IGBT

Insulated Gate Bipolar Transistor

## Obsah

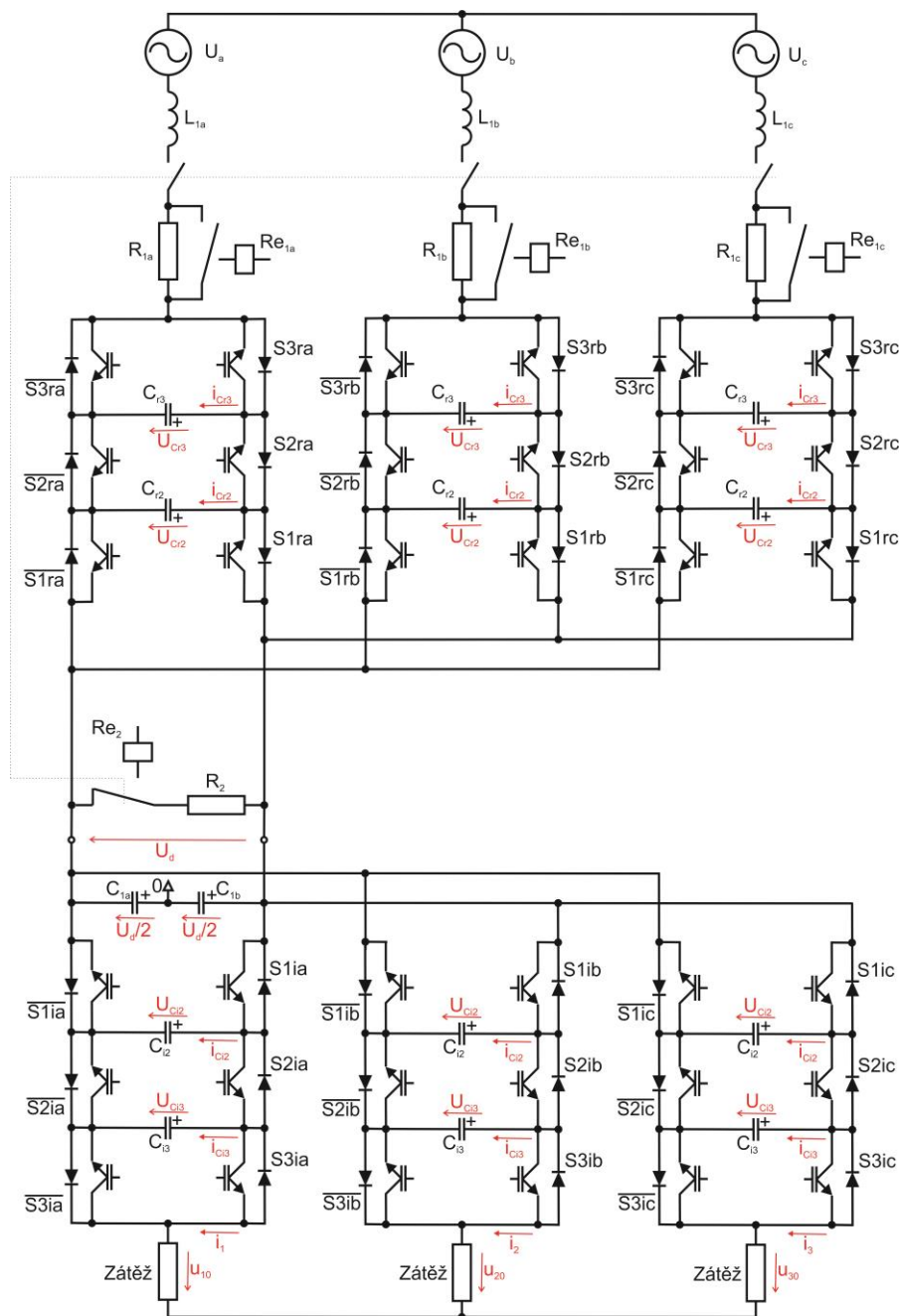
1 ÚVOD.....	4
2 STRUKTURA PROTOTYPU 4FLC MĚNIČE.....	5
3 VYBRANÁ PŘEDNABÍJECÍ METODA (VARIANTA 1).....	6
4 STAVOVÝ AUTOMAT ŘÍDÍCÍ PŘEDNABÍJECÍ SEKVENCI V PROCESORU DSP ...	7
5 NEZBYTNÉ ÚPRAVY VE STRUKTUŘE MODULÁTORU V OBVODU FPGA.....	9
6 NAMĚŘENÉ VÝSLEDKY .....	9
7 ZÁVĚR.....	12

## 1 Úvod

Korektní činnost čtyř-úrovňového měniče 4L-FLC vyžaduje přednabité plovoucí kondenzátory a kondenzátory ve stejnosměrném obvodu měniče. Existuje několik způsobů jak tyto kondenzátory přednabit z externího zdroje, ty však vyžadují přidání dodatečného hardwaru ke stávajícímu zapojení měniče. V literatuře jsou zmíněny metody, které pro přednabití využívají strukturu samotného měniče. Cílem této výzkumné zprávy je zhodnotit reálné testy funkčnosti vybrané přednabíjecí metody v rámci nové startovací sekvence pro vyvinutý čtyř-úrovňový měnič 4L-FLC.

## 2 Struktura prototypu 4FLC měniče

Zjednodušená struktura měniče 4L-FLC, na kterém bude otestována vybraná metoda přednabíjení plovoucích kondenzátorů, je přibližena na Obr. 1.

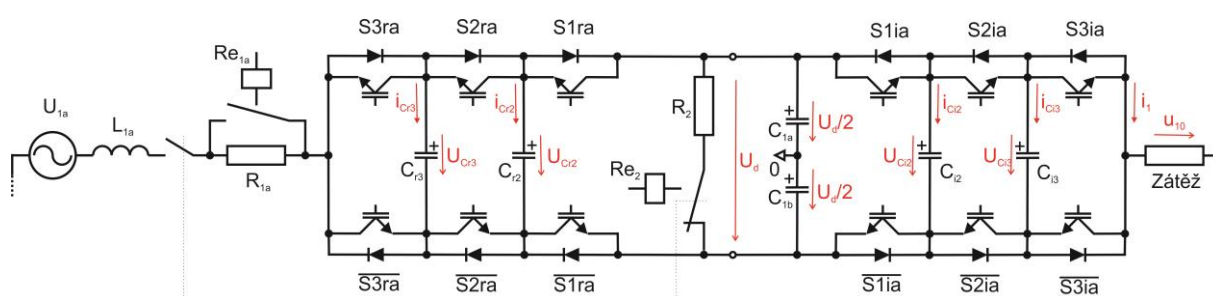


Obr. 1: Schéma trojfázového čtyř-úrovňového měniče 4L-FLC s plovoucími kondenzátory

Jak je z obrázku patrné, pro přednabití využijeme přednabíjecí odpory  $R_{1a}$ ,  $R_{1b}$ ,  $R_{1c}$ , které jsou po dosažení požadovaných hodnot napětí na plovoucích kondenzátorech ( $C_{R3}$ ,  $C_{R2}$ ,  $C_{1a}$ ,  $C_{1b}$ ,  $C_{12}$ ,  $C_{13}$ ) přemostěny.

### 3 Vybraná přednabíjecí metoda (varianta 1)

Vybraná přednabíjecí metoda, jejíž funkce je popsána ve zprávě [1], využívá zpětné diody ve struktuře měniče. Úpravou spínání prvků je docíleno vytvoření diodového usměrňovače, který postupně nabije jak jednotlivé plovoucí kondenzátory, tak i sériově spojené kondenzátory  $C_{1a}$  a  $C_{1b}$  tvořící stejnosměrný meziobvod (dále jen  $C_{1ab}$ ) na požadované startovací napětí (pro  $C_{R3}$ ,  $C_{I3}$  je  $1/3U_d$ , pro  $C_{R2}$ ,  $C_{I2}$  je  $2/3U_d$ , pro  $C_{1ab}$  je  $U_d$ ). Kombinace sepnutí jednotlivých spínacích prvků jedné fáze jsou celkem tři.



Obr. 2: Schéma jedné fáze (pro variantu 1)

1. kombinace sepnutí je  $S3ra = \overline{S3ra} = 0$ ,  $S2ra = \overline{S2ra} = 1$ ,  $S1ra = \overline{S1ra} = 1$  a  $S3ia = \overline{S3ia} = 0$ ,  $S2ia = \overline{S2ia} = 1$  a  $S1ia = \overline{S1ia} = 1$ . V této fázi je připojeno všech pět kondenzátorů  $C_{1ab}$ ,  $C_{R2}$ ,  $C_{R3}$  a  $C_{I2}$ ,  $C_{I3}$ . Nabíjejí se tedy současně na hodnotu  $1/3U_d$ . Po dosažení požadovaného napětí jsou vypnuty spínače  $S2ra$  a  $S2ia$ .
2. kombinace sepnutí je  $S3ra = \overline{S3ra} = 0$ ,  $S2ra = \overline{S2ra} = 0$ ,  $S1ra = \overline{S1ra} = 1$  a  $S3ia = \overline{S3ia} = 0$ ,  $S2ia = \overline{S2ia} = 0$  a  $S1ia = \overline{S1ia} = 1$ . V této fázi jsou připojeny tři kondenzátory  $C_{1ab}$ ,  $C_{R2}$  a  $C_{I2}$ . Nabíjejí se současně na hodnotu  $2/3U_d$ . Po dosažení požadovaného napětí jsou vypnuty spínače  $S1ra$  a  $S1ia$ .
3. kombinace sepnutí je  $S3ra = \overline{S3ra} = 0$ ,  $S2ra = \overline{S2ra} = 0$ ,  $S1ra = \overline{S1ra} = 0$  a  $S3ia = \overline{S3ia} = 0$ ,  $S2ia = \overline{S2ia} = 0$  a  $S1ia = \overline{S1ia} = 0$ . V této fázi je připojen pouze kondenzátor  $C_{1ab}$  a nabíjí se na hodnotu  $U_d$ . Po dosažení požadovaného napětí je přemostěn pomocný přednabíjecí odpor  $R_{1a}$  čímž se přímo připojí napájecí napětí k měniči. Tímto krokem je ukončena přednabíjecí sekvence a je spuštěno řízení měniče s aktivním balancováním.

Hlavní přínos této varianty spočívá v možnosti nabíjení plovoucích kondenzátorů jak kladnou tak zápornou půlvlnou střídavého napájecího napětí.

## 4 Stavový automat řídicí přednabíjecí sekvenci v procesoru DSP

První věc co je potřeba znát je úroveň napětí na kondenzátorech, tímto zjistíme které kondenzátory je potřeba nabít. Samotný výpočet se provede podle rovnic (1) - (3). Konstanta 0,9 ve vzorci (1) znamená, že kondenzátor  $C_{1ab}$  bude přednabit na 90% požadovaného napětí  $U_d$  před spuštěním aktivního balancování.

$$U_{dnom} = 0,9 \cdot (U_{ac}) \cdot \sqrt{2} \quad (1)$$

$$U_{c2nom} = \frac{2}{3} \cdot U_{dnom} \quad (2)$$

$$U_{c3nom} = \frac{1}{3} \cdot U_{dnom} \quad (3)$$

Přednabíjecí sekvence je součástí startovací (restartovací) procedury měniče, která má celkem pět stavů. Vývojový diagram stavového automatu řídicí přednabíjecí sekvenci měniče je přiblížen na Obr. 3 a souhrn spínacích kombinací je uveden v Tab. 1.

V prvním stavu (Capacitors discharging) dojde k vybití všech kondenzátorů (pouze v případě restartovací sekvence) na hodnotu napětí kondenzátoru  $C_{x3}$  (kde  $x$  zastupuje znaky  $r$  a  $i$ ), tj.  $1/3U_{dnom}$ . Vybití je provedeno tak že je měnič odpojen od napájecího střídavého zdroje a současně je připojen odpor  $R_2$  paralelně k stejnosměrnému meziobvodu (viz. Obr. 2), (relé  $Re_2$  je vypnuto). Je nutné předejít velkému proudu, který by protekl mezi kondenzátory ve chvíli jejich společnému propojení během přednabíjecí sekvence. Vybití na hodnotu  $1/3U_{dnom}$  rovněž podstatně zkracuje dobu potřebnou k restartu měniče, ve srovnání s vybitím na 0 V. První stav je automaticky vynechán, pokud jde o startovací sekvenci, tj. kondenzátory jsou již vybité.

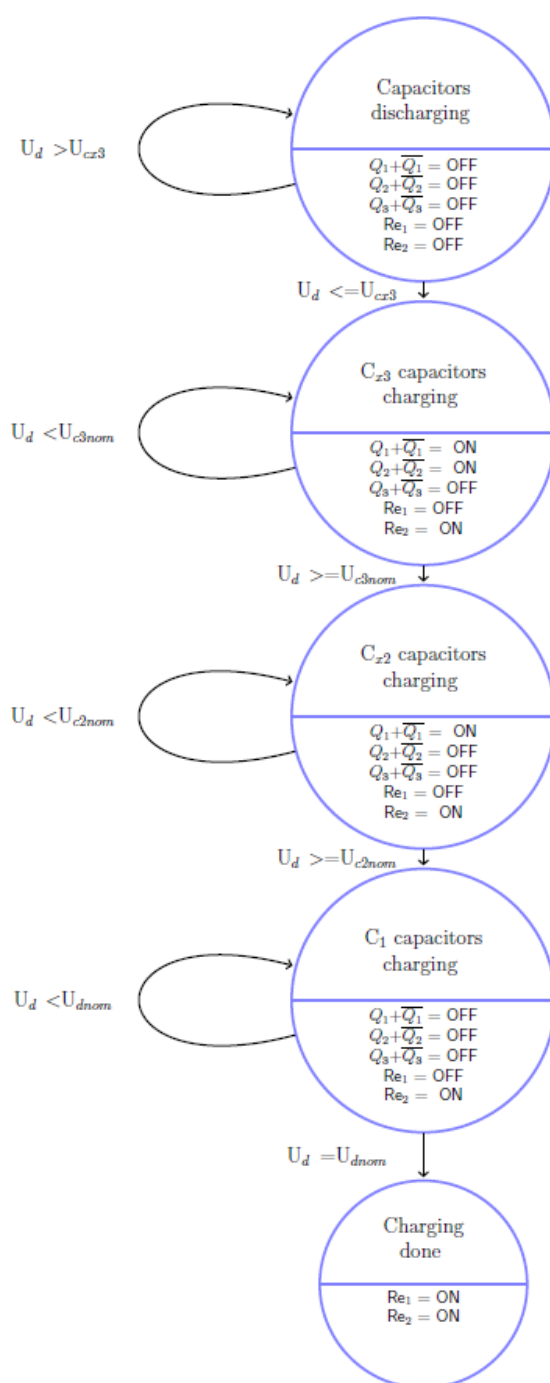
Ve druhém stavu ( $C_{x3}$  capacitors charging) se nastaví 1. kombinace sepnutí prvků měniče a sepne relé  $Re_2$ , tj. měnič je připojen ke střídavému napájecímu zdroji a odpor  $R_2$  je odpojen od stejnosměrného meziobvodu. Zpětné diody ze všech tří větví vytvoří plnohodnotný dvoupulsní usměrňovač a umožní nabíjení plovoucích kondenzátorů  $C_{x2}$ ,  $C_{x3}$  a kondenzátorů v stejnosměrném meziobvodu  $C_{1a}$ ,  $C_{1b}$  přes odpor  $R_1$  (viz. Obr. 2). Ve chvíli kdy napětí na plovoucím kondenzátoru  $C_{x3}$  dosáhne hodnoty  $U_{c3nom}$  bude splněna podmínka přechodu, stavový automat přechází do třetího stavu a nastaví 2. kombinaci sepnutí prvků měniče.

Ve třetím stavu volbou 2. kombinace sepnutí pokračuje v nabíjení plovoucích kondenzátorů  $C_{x2}$  a kondenzátorů v stejnosměrném meziobvodu  $C_{1a}$ ,  $C_{1b}$ . Kondenzátory  $C_{x3}$  jsou odpojeny a pomalu se vybíjí. Ve chvíli kdy napětí na plovoucích kondenzátorech  $C_{x2}$  dosáhne hodnoty



$U_{c2nom}$  bude splněna podmínka přechodu, stavový automat přechází do čtvrtého stavu a nastaví 3. kombinaci sepnutí prvků měniče.

Ve čtvrtém stavu 3. kombinace sepnutí prvků měniče pokračuje v nabíjení kondenzátorů v stejnosměrném meziobvodu  $C_{1a}$ ,  $C_{1b}$ . Kondenzátory  $C_{x3}$  a  $C_{x2}$  jsou odpojeny a pomalu se vybíjí. Ve chvíli kdy napětí na kondenzátorech  $C_{1a}$ ,  $C_{1b}$  dosáhne hodnoty  $U_{dnom}$  je přednabíjecí sekvence dokončena a je spuštěno řízení s aktivním balancováním.



Obr. 3: Vývojový diagram stavového automatu řídicího přednabíjecí sekvenci

Tab. 1: Spínací kombinace měniče

Stav měniče	$S1x$	$\overline{S1x}$	$S2x$	$\overline{S2x}$	$S3x$	$\overline{S3x}$
Nabíjení $C_{x3}$ <sup>1</sup>	1	1	1	1	0	0
Nabíjení $C_{x2}$ <sup>1</sup>	1	1	0	0	0	0
Nabíjení $C_{x1ab}$ <sup>1</sup>	0	0	0	0	0	0
Nabito <sup>2</sup>	$PWM_{1x}$	$\overline{PWM_{1x}}$	$PWM_{2x}$	$\overline{PWM_{2x}}$	$PWM_{3x}$	$\overline{PWM_{3x}}$
Vybíjení <sup>2</sup>	0	0	0	0	0	0
<sup>1</sup> měnič je v předabíjecím módu						
<sup>2</sup> měnič je v provozním módu (aktivní balancování)						

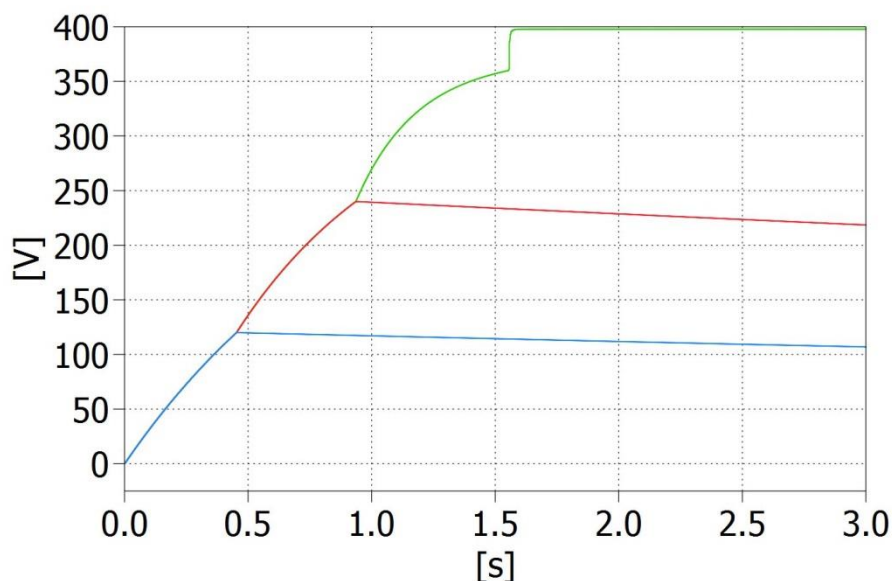
## 5 Nezbytné úpravy ve struktuře modulátoru v obvodu FPGA

Funkce nadřazené řídicí jednotky DSP byla rozšířena o dvojici řídicích signálů *prechar* definující start a ukončení přednabíjecí sekvence. První řídicí signál ovládá přednabíjení bloku usměrňovače a druhý řídicí signál ovládá přednabíjení bloku střídače. Oba signály jsou tvořeny dvojicí informačních bitů. Přednabíjecí sekvence se skládá ze tří fází, každá z těchto fází je jednoznačně definována hodnotou dvojicí informačních bitů. V první fázi je nabíjeno všech pět kondenzátorů  $C_{1ab}$ ,  $C_{r2}$ ,  $C_{r3}$  a  $C_{i2}$ ,  $C_{i3}$  na hodnotu  $1/3U_d$ . Ve druhé fázi jsou nabíjeny tři kondenzátory  $C_{1ab}$ ,  $C_{r2}$  a  $C_{i2}$  na hodnotu  $2/3U_d$  a ve třetí je nabíjen samotný kondenzátor  $C_{1ab}$  na hodnotu  $U_d$ . Pro jednotlivé fáze jsou postupně nastavovány příslušné kombinace sepnutí jednotlivých spínacích prvků čtyř-hladinového měničel- FLC. Samotná přednabíjecí sekvence proběhne ve chvíli, kdy je rozpoznán požadavek na přednabíjení měniče definovaný kombinací řídicích signálů DSP *enable\_menic* a *rele\_menic*.

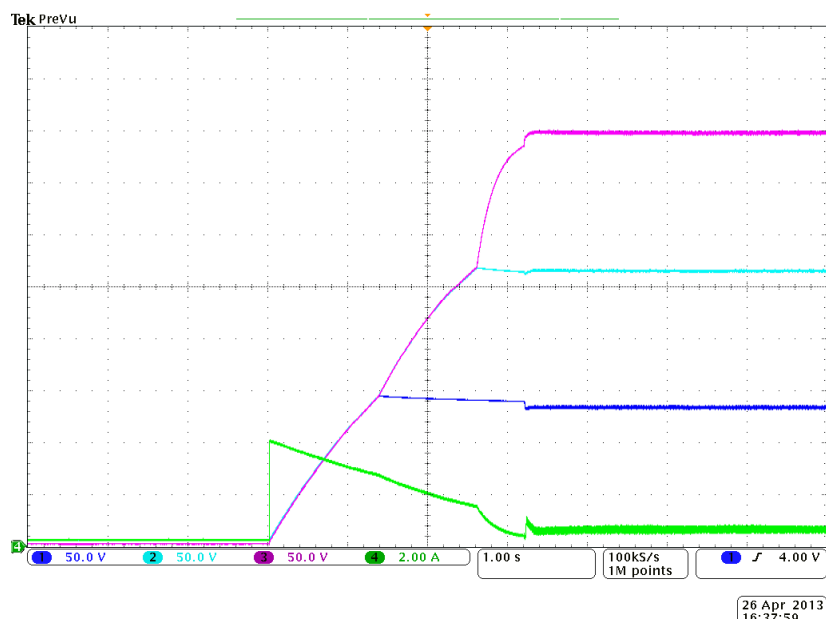
## 6 Naměřené výsledky

Měření bylo provedeno na prototypu čtyř-hladinového měniče 4L-FLC. Algoritmus přednabíjecí metody byl implementován jako součást startovací procedury pro řídicí jednotku MLC interface. Funkce aktivní balancovací jednotky v obvodu FPGA je vyřazena z činnosti nadřazenou řídicí jednotkou v procesoru DSP, tímto je umožněn přímý přístup nadřazené řídicí jednotky k ovládání jednotlivých spínacích prvků IGBT FLC měniče. Hodnoty získané simulací přednabíjecí sekvence popsané v [1], jsou uvedeny na obrázku Obr. 4. Naměřené hodnoty dokumentují obrázky Obr. 5 a Obr. 6. Konkrétně na Obr. 5 je zachycena

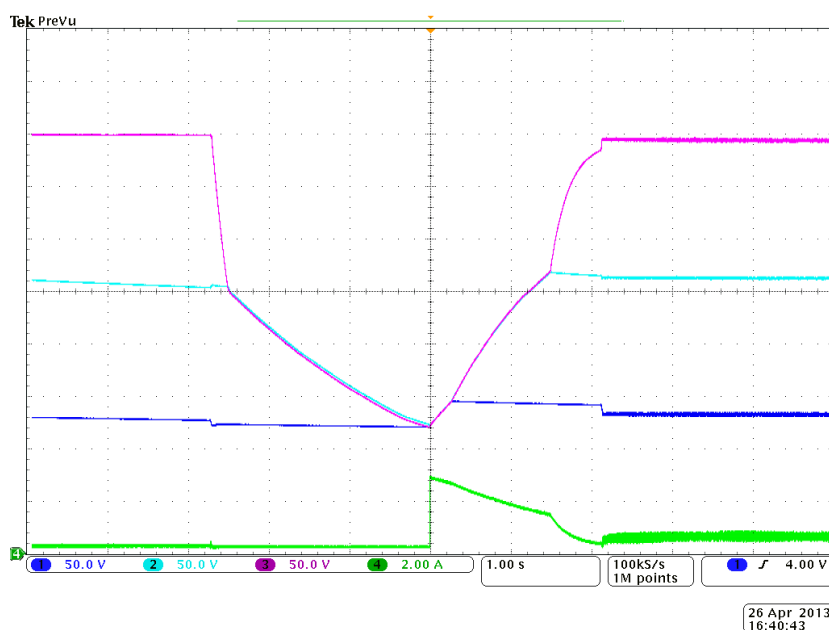
celá startovací sekvence měniče. V tomto případě je vybíjecí sekvence automaticky vynechána, protože v okamžiku startu jsou kondenzátory vybité. Ostatní kroky startovací frekvence jsou rovněž dobře patrné. Na obrázku Obr. 6 je zachycen restart měniče, který může nastat ve chvíli chybového stavu na měniči (např. nadproud, atd.). Jak je z obrázku patrné, nejprve dojde k vybití všech kondenzátorů na hodnotu napětí  $1/3U_d$ , pak následuje nabíjení na dané napěťové úrovni tj.  $2/3U_d$  a  $U_d$ .



Obr. 4: Simulace přednabíjecí sekvence; CH1[blue]:napětí kondenzátoru  $U_{ci2}$  [50V/dílek], CH2[red]:napětí kondenzátoru  $U_{ci1}$  [50V/dílek], CH3[green]: napětí kondenzátoru  $U_d$ [50V/dílek]



Obr. 5: Průběh přednabíjecí sekvence během startu 4L-FLC měniče; CH1: napětí na plovoucím kondenzátoru  $C_{i2}$ [50V/dílek], CH2: napětí na plovoucím kondenzátoru  $C_{i1}$ [50V/dílek], CH3: napětí v ss meziobvodu  $U_d$ [50V/dílek], CH4: ss proud meziobvodem  $I_d$ [2A/dílek]



Obr. 6: Průběh přednabíjecí sekvence během restartu 4L-FLC měniče; CH1: napětí na plovoucím kondenzátoru  $C_{i2}$ [50V/dílek], CH2: napětí na plovoucím kondenzátoru  $C_{i1}$ [50V/dílek], CH3: napětí v ss meziobvodu  $U_d$ [50V/dílek], CH4: ss proud meziobvodem  $I_d$ [2A/dílek]

## 7 Závěr

Vybraná přednabíjecí metoda (varianty 1) byla otestována v součinnosti s vyvinutým prototypem čtyř-hladinového měniče 4L-FLC. Byly potvrzeny předpoklady získané simulací této metody. Vybraná varianta je plně funkční a bude použita jako součást startovací procedury pro přednabíjení kondenzátorů jak usměřovače, tak i střídače prototypu čtyř-hladinového měniče 4L-FLC.

## Literatura

- [1] Janík D., Kamenický P., Košan T.: **Studie metod přednabíjení plovoucích kondenzátorů FLC měničů**. Výzkumná zpráva č. 22190 - 002 - 2013, RICE, 2013
- [2] Sepahvand, H.; Khazraei, M.; Corzine, K.; Ferdowsi, M.: **Start-up Procedure and Switching Losses Reduction for a Single-Phase Flying Capacitor Active Rectifier**, Industrial Electronics, IEEE Transactions on , vol.PP, no.99, pp.1.

## Seznam obrázků

Obr. 1: Schéma trojfázového čtyř-úrovňového měniče 4L-FLC s plovoucími kondenzátory.....	5
Obr. 2: Schéma jedné fáze (pro variantu 1) .....	6
Obr. 3: Vývojový diagram stavového automatu řídicího přednabíjecí sekvenci .....	8
Tab. 1: Spínací kombinace měniče .....	9
Obr. 4: Simulace přednabíjecí sekvence; CH1[blue]:napětí kondenzátoru $U_{ci2}$ [50V/dílek], CH2[red]:napětí kondenzátoru $U_{ci1}$ [50V/dílek], CH3[green]: napětí kondenzátoru $U_d$ [50V/dílek].....	10
Obr. 5: Průběh přednabíjecí sekvence během startu 4L-FLC měniče; CH1: napětí na plovoucím kondenzátoru $C_{i2}$ [50V/dílek], CH2: napětí na plovoucím kondenzátoru $C_{i1}$ [50V/dílek], CH3:napětí v ss meziobvodu $U_d$ [50V/dílek], CH4:ss proud meziobvodem $I_d$ [2A/dílek] .....	11
Obr. 6: Průběh přednabíjecí sekvence během restartu 4L-FLC měniče; CH1: napětí na plovoucím kondenzátoru $C_{i2}$ [50V/dílek], CH2: napětí na plovoucím kondenzátoru $C_{i1}$ [50V/dílek], CH3:napětí v ss meziobvodu $U_d$ [50V/dílek], CH4:ss proud meziobvodem $I_d$ [2A/dílek] .....	11

